

Нелинейный скин-эффект в полуметаллах

© В.Г. Скобов¹, А.С. Чернов²

¹ Санкт-Петербургский государственный электротехнический университет „ЛЭТИ“, Санкт-Петербург, Россия

² Национальный исследовательский ядерный университет „МИФИ“, Москва, Россия

E-mail: vskobov@mail.ru

(Поступила в Редакцию 15 апреля 2013 г.)

Теоретически изучено влияние нелинейности на проникновение радиоволн в полуметаллы в геометрии, когда постоянное магнитное поле \mathbf{H} направлено вдоль тригональной оси кристалла. В линейном режиме в этой геометрии существует сильное магнитное затухание Ландау. Показано, что захват электронов магнитным полем радиочастотной волны большой амплитуды уменьшает это поглощение. Это приводит к тому, что глубина скин-слоя в полуметалле становится функцией амплитуды возбуждающего радиочастотного поля и может возрасти во много раз.

1. Введение

Магнитное затухание Ландау (МЗЛ) — бесстолкновительное поглощение носителями, движущимися в фазе с волной, — играет важную роль в металлах. Оно часто затрудняет, а во многих случаях и делает невозможным распространение радиоволн [1]. Ситуации, когда радиоволны могут распространяться в металлах, реализуются относительно редко. Например, в кадмии в геометрии, когда постоянное магнитное поле \mathbf{H} направлено вдоль оси [0001], возможно распространение доплеронов — радиочастотных (РЧ) волн, обусловленных доплерсдвинутым циклотронным резонансом [2]. Последнее связано с тем, что МЗЛ в этой геометрии отсутствует вследствие симметрии. Однако при отклонении вектора \mathbf{H} от гексагональной оси кристалла возникает затухание, которое даже при малых углах отклонения препятствует распространению доплеронов [3,4]. Волновое распространение реализуется легче, если перейти к нелинейному режиму. Вугальтер и Демиховский [5] рассмотрели распространение геликона большой амплитуды в щелочном металле в наклонном магнитном поле, когда имеется значительное МЗЛ. Они показали, что „захват“ электронов магнитным полем волны может уменьшить это затухание и облегчить распространение геликона. В [6] нами было показано, что МЗЛ в кадмии в нелинейном режиме может быть настолько подавлено, что распространение доплеронов становится возможным и в ситуации, когда поле \mathbf{H} направлено под углом к оси [0001].

Другими возможными объектами, в которых могут иметь место существенные нелинейные эффекты, являются полуметаллы. С одной стороны, они представляются более благоприятными, поскольку концентрация носителей в них намного ниже, чем в типичных металлах, и поэтому нелинейный режим в них легче реализовать. С другой стороны, вследствие очень сильной анизотропии поверхности Ферми МЗЛ в них очень велико. Оно существует даже при ориентации вектора \mathbf{H} вдоль три-

гональной оси и оказывается определяющим. Изучение характера проникновения низкочастотных радиоволн в полуметаллы в нелинейном режиме в условиях, когда МЗЛ является превалирующим, и составляет содержание настоящей работы.

2. Нелокальная проводимость

Рассмотрим распространение плоской монохроматической волны в геометрии, когда нормаль к поверхности образца \mathbf{n} (вектор распространения \mathbf{k}) и постоянное магнитное поле \mathbf{H} параллельны тригональной оси: $\mathbf{k} \parallel \mathbf{H} \parallel C_3 \parallel z$. Свойства волновых мод, поле которых вращается по кругу, ($E_{\pm} = E_x \pm iE_y$), определяются дисперсионным уравнением

$$k^2 c^2 = 4\pi i \omega \sigma_{\pm}(k, H), \quad (1)$$

где c — скорость света, ω — частота волны,

$$\sigma_{\pm} = \frac{1}{2}(\sigma_{xx} + \sigma_{yy}) \pm i\sigma_{yx}, \quad (2)$$

$\sigma_{\alpha\beta}$ — Фурье-компоненты тензора проводимости с учетом пространственной дисперсии и зависимости от поля \mathbf{H} . Выражение для $\sigma_{\alpha\beta}$ определяется формулой (см., например, [7])

$$\begin{aligned} \sigma_{\alpha\beta}(k, H) = & \frac{2e^2}{(2\pi\hbar)^3} \sum_j \int_0^{\infty} d\varepsilon \left(-\frac{df}{d\varepsilon} \right) \int_{-p_z^{\max}}^{p_z^{\max}} dp_z \frac{m_c}{\omega_c} \\ & \times \int_0^{2\pi} d\Phi v_{\alpha}(\varepsilon, p_z, \Phi) \times \int_{-\infty}^{\Phi} d\Phi' v_{\beta}(\varepsilon, p_z, \Phi') \\ & \times \exp \left\{ \frac{1}{\omega_c} \int_{\Phi}^{\Phi'} [v + i\mathbf{k}\mathbf{v}(\varepsilon, p_z, \Phi'')] d\Phi'' \right\}. \quad (3) \end{aligned}$$

Здесь $-e$ — заряд электрона, $\omega_c = eH/m_c c$ — циклотронная частота, m_c — циклотронная масса, \mathbf{p} —

импульс, $\mathbf{v} = \partial\varepsilon/\partial\mathbf{p}$ — скорость, Φ — безразмерное время периодического движения (фаза, определяющая положение электрона на орбите), ν — частота столкновений электронов с рассеивателями, f — функция Ферми от аргумента $(\varepsilon - \varepsilon_F)/T$, ε_F — энергия Ферми, T — температура в энергетических единицах, знак \sum_j означает суммирование по всем группам носителей, зависимость электронных характеристик от номера группы j не выписывается. В выражении (3) мы пренебрегли зависимостью $\sigma_{\alpha\beta}$ от ω , поскольку нас интересует случай низких частот: $\omega \ll \nu$.

Поверхность Ферми висмута состоит из одного дырочного эллипсоида вращения и трех электронных эллипсоидов, наклоненных к базовой плоскости и симметрично расположенных относительно оси C_3 . Найдем проводимость, обусловленную электронами одного эллипсоида. В геометрии, когда ось z системы координат направлена вдоль C_3 , а ось x — вдоль одной из главных осей эллипсоида, зависимость энергии электрона от импульса имеет вид (см., например, [8])

$$\varepsilon(\mathbf{p}) = \frac{1}{2m} (\alpha_1 p_x^2 + \alpha_2 p_y^2 + \alpha_3 p_z^2 + 2\alpha_4 p_y p_z), \quad m_c = \frac{m}{\sqrt{\alpha_1 \alpha_2}},$$

$$\alpha_1 = 197, \quad \alpha_2 = 1.64, \quad \alpha_3 = 81.1, \quad \alpha_4 = 9.4, \quad (4)$$

m — масса свободного электрона. Энергия Ферми висмута $\varepsilon_F \approx 0.02$ eV. Электронные Ферми-поверхности сурьмы и мышьяка подобны Ферми-поверхности висмута, но концентрация электронов в сурьме примерно в 100 раз, а в мышьяке — в 1000 раз больше [8]. Соответственно энергия Ферми сурьмы составляет примерно 0.4 eV, а мышьяка — 2 eV.

Компоненты векторов \mathbf{p} и \mathbf{v} даются соотношениями

$$p_x(\varepsilon, p_z, \Phi) = \frac{p}{\sqrt{\alpha_1}} \cos \Phi, \quad p = \sqrt{2m\varepsilon - \alpha p_z^2}, \quad (5)$$

$$p_y(\varepsilon, p_z, \Phi) = \frac{p}{\sqrt{\alpha_2}} \sin \Phi - \frac{\alpha_4}{\alpha_2} p_z, \quad (6)$$

$$v_x(\varepsilon, p_z, \Phi) = \sqrt{\alpha_1} \frac{p}{m} \cos \Phi,$$

$$v_y(\varepsilon, p_z, \Phi) = \sqrt{\alpha_2} \frac{p}{m} \sin \Phi, \quad (7)$$

$$v_z(\varepsilon, p_z, \Phi) = \frac{\alpha p_z}{m} + \frac{\alpha_4}{\sqrt{\alpha_2}} \frac{p}{m} \sin \Phi, \quad \alpha = \alpha_3 - \frac{\alpha_4^2}{\alpha_2}, \quad (8)$$

зависимость v_z от Φ — следствие того, что ось z не является главной осью эллипсоида.

Получим асимптотическое выражение для σ_{\pm} в случае сильного магнитного поля: $\omega_c \gg \nu$. При продольном распространении волны $\mathbf{k} \parallel \mathbf{H} \parallel z$ фазовый множитель в (3) равен

$$\exp \left[\frac{1}{\omega_c} \left(\nu + ik \frac{\alpha p_z}{m} \right) (\Phi' - \Phi) + ikR (\cos \Phi - \cos \Phi') \right], \quad (9)$$

где

$$R(\varepsilon, p_z) = \frac{\alpha_4}{\sqrt{\alpha_1 \alpha_2}} \frac{c p(\varepsilon, p_z)}{eH}.$$

Используя формулу

$$\exp(i\xi \cos \Phi) = \sum_{l=-\infty}^{\infty} i^l J_l(\xi) \exp il\Phi, \quad (10)$$

где $J_l(\xi)$ — функции Бесселя, разложим (8) в двойной ряд Фурье и выполним интегрирование по Φ и Φ' . В результате находим

$$\sigma_{\alpha\beta}^{(1)} = \frac{2e^2}{(2\pi\hbar)^3} \int_0^{\infty} d\varepsilon \left(-\frac{df}{d\varepsilon} \right) \int_{-p_z^{\max}}^{p_z^{\max}} dp_z s_{\alpha\beta}(\varepsilon, p_z), \quad (11)$$

$$s_{xx} = \pi \left(\frac{\alpha_1}{\alpha_2} \right)^{1/2} \left(\varepsilon - \frac{\alpha p_z^2}{2m} \right) \times \sum_{l=-\infty}^{\infty} [J_{l-1}(kR) - J_{l+1}(kR)]^2 \left[\nu + i \left(l\omega_c + k \frac{\alpha p_z}{m} \right) \right]^{-1}, \quad (12)$$

$$s_{xy} = -i\pi \left(\varepsilon - \frac{\alpha p_z^2}{2m} \right) \times \sum_{l=-\infty}^{\infty} [J_{l-1}^2(kR) - J_{l+1}^2(kR)] \left[\nu + i \left(l\omega_c + k \frac{\alpha p_z}{m} \right) \right]^{-1}, \quad (13)$$

выражение для σ_{yy} не приводим, поскольку оно много меньше σ_{xx} . Учтем теперь, что $df/d\varepsilon = -\delta(\varepsilon - \varepsilon_F)$ и произведем интегрирование по ε . Тогда выражения для σ_{xx} и σ_{xy} можно привести к виду

$$\sigma_{xx}^{(1)} = \frac{3}{8} \sqrt{\frac{\alpha_1}{\alpha_2}} \frac{n_1 e c}{H} \times \sum_{l=-\infty}^{\infty} \int_{-1}^1 [J_{l-1}(y) - J_{l+1}(y)]^2 \frac{1-x^2}{\gamma + i(l+qx)} dx, \quad (14)$$

$$\sigma_{xy}^{(1)} = -\frac{3}{8} \frac{n_1 e c}{H} \times \sum_{l=-\infty}^{\infty} \int_{-1}^1 [J_{l-1}^2(y) - J_{l+1}^2(y)] \frac{1-x^2}{l+qx-iy} dx, \quad (15)$$

где

$$n_1 = \frac{(2m\varepsilon_F)^{3/2}}{3\pi^2 \hbar^3 (\alpha_1 \alpha_2 \alpha)^{1/2}}, \quad \gamma = \frac{\nu}{\omega_c} \ll 1, \quad (16)$$

$$y = \eta q \sqrt{1-x^2}, \quad q = \frac{\alpha}{\sqrt{\alpha_1 \alpha_2}} \frac{kc p_1}{eH},$$

$$\eta = \frac{\alpha_4}{\sqrt{\alpha_2 \alpha}}, \quad p_1 = \sqrt{\frac{2m\varepsilon_F}{\alpha}}, \quad (17)$$

n_1 — концентрация электронов одного эллипсоида, p_1 — максимальное значение продольного импульса p_z , q — отношение максимального смещения электрона за циклотронный период к длине РЧ-волны в металле.

Нас интересует область сильных магнитных полей, в которой $q^2 \ll 1$. В этой области

$$\operatorname{Re} [y + i(l + qx)]^{-1} \approx \pi \delta(l + qx).$$

В (14) остается лишь член с $l = 0$ и интегрирование по x дает

$$\sigma_{xx}^{(1)} = \frac{3\pi}{2} \sqrt{\frac{\alpha_1}{\alpha_2 q^2}} \frac{n_1 e c}{H} J_1^2(\eta q). \quad (18)$$

Электроны двух других эллипсоидов, которые получают в результате поворота рассматриваемого эллипсоида вокруг оси C_3 на углы $\pm 120^\circ$, создают диссипативный ток в направлении, перпендикулярном наклонной оси соответствующего эллипсоида. В результате полный диссипативный ток в базовой плоскости оказывается параллельным электрическому полю волны \mathbf{E} и характеризуется изотропной проводимостью

$$\sigma(q) = \frac{3\pi}{4} \sqrt{\frac{\alpha_1}{\alpha_2 q^2}} \frac{nec}{H} J_1^2(\eta q), \quad (19)$$

где $n = 3n_1$ — полная концентрация электронов.

Диссипативная проводимость (19) и представляет магнитное затухание Ландау. Оно обусловлено бесстолкновительным поглощением волны электронами с $p_z = 0$. В полуметаллах МЗЛ существует даже при $\mathbf{k} \parallel \mathbf{H}$, поскольку главная ось эллипсоида наклонена к оси y ($\alpha_4 \neq 0$), продольная скорость v_z содержит осциллирующее слагаемое, пропорциональное $\sin \Phi$, и орбиты электронов с $p_z = 0$ оказываются наклонены к плоскости xu , так что эти электроны движутся в неоднородном волновом поле. Если бы главная ось эллипсоида совпадала с осью y , то величины α_4 , η и $J_1(\eta q)$ были бы равны нулю, и при $\mathbf{k} \parallel \mathbf{H}$ магнитное затухание Ландау отсутствовало бы.

Проанализируем теперь поведение нелокальной холловской проводимости σ_{xy} . В области $q^2 < 1$ эта функция является почти вещественной. В пренебрежении малыми членами порядка $i\gamma$ выражение для σ_{xy} имеет вид

$$\sigma_{xy}^{(e)} = -\frac{nec}{H} F(q), \quad (20)$$

$$F(q) = \frac{3}{2} \sum_{l=1}^{\infty} l \int_0^1 [J_{l-1}^2(y) - J_{l+1}^2(y)] \frac{1-x^2}{l^2 - q^2 x^2} dx. \quad (21)$$

При $q^2 \ll 1$ в (21) можно ограничиться членами с $l = \pm 1$ и ± 2 , и $\sigma_{xy}^{(e)}$ дается формулой

$$\sigma_{xy}^{(e)} \approx -\frac{nec}{H} (1 - a_0 q^2), \quad a_0 \approx 0.4. \quad (22)$$

Единица в скобках соответствует локальному пределу, а слагаемое с a_0 представляет собой нелокальную поправку. К этой проводимости мы должны добавить вклад дырок. Параметры дырочного эллипсоида в висмуте таковы, что при $\mathbf{H} \parallel C_3$ максимальное смещение дырок за циклотронный период в несколько раз меньше соответствующей величины для электронов. Поэтому в области

$q^2 < 1$ нелокальные эффекты в дырочной проводимости несущественны, и она хорошо описывается локальным приближением: $\sigma_{xy}^{(h)} = nec/H$. Таким образом, суммарная холловская проводимость

$$\sigma_{xy} \approx \frac{nec}{H} a_0 q^2 S(q), \quad (23)$$

и для нелокальной проводимости полуметалла мы получаем формулу

$$\sigma_{\pm}(q) = \frac{nec}{H} \left[\frac{3\pi}{4} \sqrt{\frac{\alpha_1}{\alpha_2 q^2}} J_1^2(\eta q) \mp i a_0 q^2 S(q) \right]. \quad (24)$$

Благодаря большому численному множителю $(\alpha_1/\alpha_2)^{1/2}$ вещественная часть σ_{\pm} , связанная с МЗЛ, более чем на порядок превосходит мнимую часть. Вследствие этого распространение низкочастотных $\omega < \nu$ волн в полуметаллах оказывается невозможным и в них имеет место скин-эффект.

3. Подавление поглощения в нелинейном режиме

Принципиальная возможность подобного эффекта была продемонстрирована в [5], где рассматривалось влияние нелинейности на распространение геликона в щелочном металле в наклонном магнитном поле в условиях существования МЗЛ. Авторы показали, что магнитное поле геликона большой амплитуды может "захватывать" электроны, ответственные за МЗЛ. Захваченные электроны колеблются вдоль вектора \mathbf{H} с определенной частотой ω_0 . Если эта частота превосходит частоту столкновений электронов, то затухание геликона уменьшается. Подавление МЗЛ в кадмии может быть настолько существенным [6], что в геометрии, когда поле \mathbf{H} отклонено от оси C_3 и в линейном режиме волновое распространение отсутствует, в нелинейном режиме становится возможным распространение электронного доплерона.

Для выяснения влияния нелинейности на скин-эффект в полуметаллах рассмотрим движение электронов с $p_z \ll p_1$ в поле волны. В системе координат, движущейся вдоль оси z с фазовой скоростью волны ω/k , электрическое поле отсутствует, магнитное поле волны не зависит от времени, и движение электрона описывается уравнением

$$\dot{\mathbf{p}} = -\frac{e}{c} \mathbf{v} \times (\mathbf{H} + \mathbf{H}_w(z)), \quad (25)$$

где точка сверху означает производную по времени, $\mathbf{H}_w = \{-H_w \sin(kz), H_w \cos(kz), 0\}$ — магнитное поле волны. В цилиндрических координатах p_z, p, Φ (25) принимает вид

$$\dot{p}_z = -\frac{\omega_c p}{\sqrt{\alpha_2}} \frac{H_w}{H} \cos \Phi \cos kz, \quad (26)$$

$$\dot{p} = -\frac{\alpha p_z}{p} \dot{p}_z, \quad (27)$$

$$\dot{\Phi} = \frac{eH}{mc}, \quad (28)$$

в правой части (26) мы пренебрегли членом, обратно пропорциональным $\sqrt{\alpha_1}$ (α_1 на два порядка превосходит α_2), а в правой части (28) – членами, пропорциональными H_w , поскольку поле волны мало по сравнению с постоянным полем: $H_w \ll H$.

Чтобы сделать систему (26)–(28) замкнутой, ее нужно дополнить уравнением

$$\dot{z} \equiv v_z = \frac{\alpha p_z}{m} + \frac{\alpha_4}{\sqrt{\alpha_2}} \frac{p}{m} \sin \Phi. \quad (29)$$

Решение (28) имеет следующий вид: $\Phi = \omega_c t$. Далее ввиду малости p_z/p можно пренебречь изменением p и считать его постоянным: $p = const$. Для решения остающихся уравнений (26) и (29) усредним их по периоду быстрого изменения фазы Φ , отмечая средние значения индексом „с“. Запишем решение в виде

$$z = z_c - \frac{\alpha_4}{\sqrt{\alpha_2}} \frac{p}{m\omega_c} \cos \Phi, \quad (30)$$

второе слагаемое описывает быстрые изменения z вследствие вращения электрона по наклонной орбите. Подставляя (30) в (29), находим

$$\dot{z}_c = \frac{\alpha}{m} p_{zc}. \quad (31)$$

Дифференцируя (31) по t и исключая с помощью (26) \dot{p}_z , приходим к уравнению

$$\ddot{z}_c = \frac{\alpha}{\sqrt{\alpha_2}} \frac{\omega_c p}{m} \frac{H_w}{H} [\cos \Phi \cos(kz_c - \eta q \cos \Phi)]_c. \quad (32)$$

Поскольку мы рассматриваем случай $q^2 \ll 1$, разложим второй косинус в (32) по степеням $\eta q \cos \Phi$, ограничимся линейным членом разложения и усредним правую часть по Φ . В результате получаем:

$$k \dot{z}_c + \omega_0^2 \sin kz_c = 0, \quad (33)$$

где

$$\omega_0^2 = \frac{\alpha_4}{2\alpha_2} \omega_c^2 q^2 \frac{H_w}{H}. \quad (34)$$

Первый интеграл (33) имеет вид

$$(\dot{z}_c)^2 = v_{z0}^2 + \frac{2\omega_0^2}{k^2} \cos(kz_c). \quad (35)$$

Электроны, для которых $v_{z0} > \sqrt{2}\omega_0/k$, совершают инфинитное движение вдоль оси z ; они называются пролетными. Электроны, для которых $v_{z0} < \sqrt{2}\omega_0/k$, захватываются полем волны и колеблются с частотой порядка ω_0 . Захват зависит от отношения ω_0/ν . При $\omega_0 \ll \nu$ захвата не происходит и осуществляется линейный режим. В обратном случае, $\omega_0 \gg \nu$, электроны захватываются волной и бесстолкновительное поглощение

уменьшается. Вугальтер и Демиховский [5] показали, что в нелинейном режиме, когда $\omega_0 \gg \nu$, затухание геликона уменьшается в ω_0/ν раз. Поэтому, если в правую часть выражения (19) для $\sigma(q)$ ввести множитель $(1 + \omega_0^2/\nu^2)^{-1/2}$, то мы получим интерполяционную формулу для диссипативной проводимости полуметалла

$$\sigma^{(n)}(q) = \frac{3\pi}{4} \sqrt{\frac{\alpha_1}{\alpha_2}} \frac{ne c}{q^2 H} \frac{J_1^2(\eta q)}{(1 + \omega_0^2/\nu^2)^{1/2}}, \quad (36)$$

которая хорошо описывает МЗЛ как в линейном режиме ($\omega_0 \ll \nu$), так и в нелинейном ($\omega_0 \gg \nu$).

4. Скин-эффект в полуметаллах

Волновые свойства полуметалла определяются дисперсионным уравнением (1), в котором мы можем пренебречь отличием σ_{\pm} от $\sigma^{(n)}$ (36) и записать его в форме

$$q^2 = \xi \frac{3\pi i}{4} \sqrt{\frac{\alpha_1}{\alpha_2}} J_1^2(\eta q) \left(1 + \rho q^2 \frac{\omega_c^2}{\nu^2}\right)^{-1/2}, \quad (37)$$

где

$$\xi = \frac{4\pi\omega n p_1^2 c}{eH^3} \frac{a^2}{\alpha_1 \alpha_2}, \quad \rho = \frac{\alpha_4}{2\alpha_2} \frac{H_w}{H}. \quad (38)$$

Поскольку величина ξ обратно пропорциональна H^3 , в сильных магнитных полях она становится малой: $\xi \ll 1$. Значения q в этой области также оказываются малыми, (37) упрощается и принимает вид

$$\left[q^2 \left(1 + \rho \frac{\omega_c^2}{\nu^2} q^2\right)\right]^{1/2} = i \frac{3\pi}{16} \eta^2 \left(\frac{\alpha_1}{\alpha_2}\right)^{1/2} \xi. \quad (39)$$

При амплитудах возбуждающего поля H_w , удовлетворяющих условию $\rho \ll (\nu/\xi\omega_c)^2 \alpha_2/\alpha_1$, реализуется линейный режим. В этом случае решение дисперсионного уравнения есть

$$k_s = \frac{i}{\delta}, \quad \delta = \frac{4\alpha_2^2}{3\pi^2 \alpha_4^2} \frac{H^2}{\omega p_1 n}. \quad (40)$$

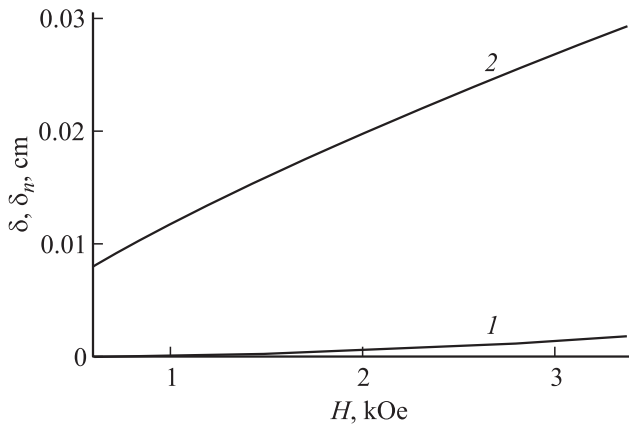
Оно описывает РЧ-поле в скин-слое, которое обусловлено МЗЛ и экспоненциально затухает с расстоянием от поверхности. Глубина скин-слоя δ пропорциональна H^2 и обратно пропорциональна ω .

При больших амплитудах поля H_w , удовлетворяющих неравенству

$$\rho \gg \frac{\alpha_2}{\alpha_1} \left(\frac{\nu}{\omega_c \xi}\right)^2, \quad (41)$$

второе слагаемое в скобках в левой части (39) оказывается большим по сравнению с единицей и реализуется режим сильной нелинейности. В этом случае (39) сводится к уравнению

$$q^2 = i \frac{3\pi \eta^2}{16} \left(\frac{\alpha_1}{\alpha_2 \rho}\right)^{1/2} \frac{\nu}{\omega_c} \xi, \quad (42)$$



Зависимость глубины скин-слоя от поля H в линейном (1) и нелинейном (2) режимах.

решение которого k_{sn} можно записать в форме

$$k_{sn} = \frac{1+i}{\delta_n}, \quad \delta_n = \left(\frac{2\alpha}{3\pi^2 \omega n m \nu} \right)^{1/2} \left(\frac{2\alpha_2}{\alpha_4} H \right)^{3/4} H_w^{1/4}. \tag{43}$$

Глубина скин-слоя δ_n значительно превосходит δ , при этом величина δ_n оказывается пропорциональной $H^{3/4} H_w^{1/4} / \sqrt{\omega \nu}$.

На рисунке приведены результаты расчета зависимостей δ и δ_n от H . Расчет выполнен для мышьяка (энергия Ферми $\epsilon_F \approx 2$ eV) при частоте $\omega/2\pi = 1$ MHz, $\nu = 5 \cdot 10^8$ s⁻¹, $H_w = 100$ Oe. Видно, что захват электронов магнитным полем волны приводит к подавлению МЗЛ и сильному увеличению глубины скин-слоя.

5. Заключение

Выше мы привели расчет глубины скин-слоя в мышьяке, поскольку нелинейные эффекты оказываются наиболее сильными именно в этом полуметалле. Концентрация электронов в нем на три порядка выше, чем в Bi: $n \sim 3 \cdot 10^{20}$ cm⁻³. Поэтому величина ξ и, следовательно, q^2 в As в 1000 раз больше, чем в Bi, и ее значение в области сильных магнитных полей ($\omega_c \gg \nu$) может быть не очень мало, что необходимо для реализации режима сильной нелинейности. Напротив, в Bi величины ξ и q очень малы, так что нелинейный эффект оказывается намного слабее. Сурьма занимает промежуточное положение между Bi и As ($n \sim 3 \cdot 10^{19}$ cm⁻³ [9]).

Список литературы

[1] Э.А. Канер, В.Г. Скобов. ЖЭТФ **45**, 610 (1963).
 [2] Л.М. Фишер, В.В. Лаврова, В.А. Юдин, О.В. Константинов, В.Г. Скобов. ЖЭТФ **60**, 759 (1971).
 [3] В.В. Лаврова, В.Г. Скобов, Л.М. Фишер, А.С. Чернов, В.А. Юдин. ФТТ **15**, 2335 (1973).
 [4] И.Ф. Волошин, Н.А. Подлевских, В.Г. Скобов, Л.М. Фишер, А.С. Чернов. ЖЭТФ **90**, 352 (1986).

[5] Г.Ф. Вугальтер, В.Я. Демиховский. ЖЭТФ **70**, 1419 (1976).
 [6] В.Г. Скобов, А.С. Чернов. ФТТ **55**, 213 (2013).
 [7] E.A. Kaner, V.G. Skobov. Plasma effects in metals. Helicon and alfvén waves. Taylor and Francis, London (1971). P. 20.
 [8] S. Mase, Y. Fujimori, H. Mori. J. Phys. Soc. Jpn. **21**, 1744 (1966).
 [9] А. Крэкнелл, К. Уонг. Поверхность Ферми. Атомиздат, М. (1978). С. 199.